

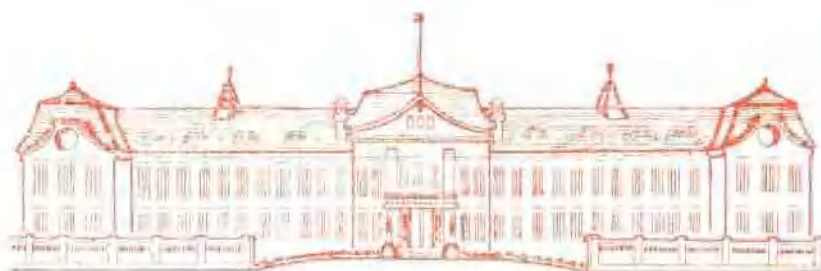
第 6 号

中国科学院大连化学物理研究所

# 研究报告与资料

低电压施密特报警继电器

苍永武



一九八〇年十二月

## 一、引 言

在生产或科研工作中，有时要对图1所示对象进行监视和报警。显然用常规的电动单元组合仪表报警器是无法实现的。这是因为：（1）各单电压是串联的，无公共“地”；（2）单电压数量多。

本文所介绍的低电压施密特报警继电器（以下简称  $S$ ·继电器），不仅隔离作用强，而且具有结构简单、使用方便、小信号报警、报警点可调等特点。

## 二、工 作 原 理

靠输入电平之高低来推动的触发器叫作施密特（Scmite）电路（图2）。严格地说，一只普通继电器就是一个施密特电路。其吸合电压相当于施密特电路的比较电平。但是，它是不可调的，并且其数值都在1伏以上。因此，当报警点“ $<1$ 伏”时，普通继电器是无能为力的。

图3是  $S$ ·继电器的原理图。在继电器铁芯上分别引入绕组  $L_1$ 、 $L_2$ ，其匝数分别为  $W_{报}$ 、 $W_{原}$ ， $V_{原}$  为  $L_2$  的供电电压，它是由外界直流电源供给，称为原电压。 $V_0$  是报警电压，即被监视电压。 $W_{报}$ 、 $W_{原}$  产生的磁场分别为  $B_1$ 、 $B_2$ ，二者方向相反， $B_2 > B_1$ ，铁芯总磁场  $B = B_2 - B_1$ 。

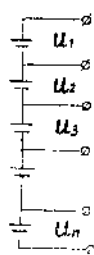


图 1

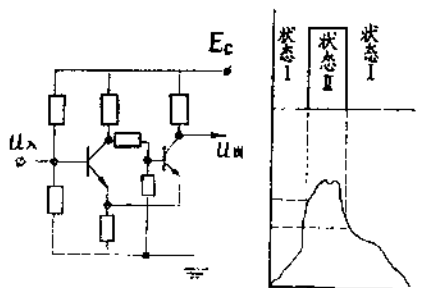


图 2

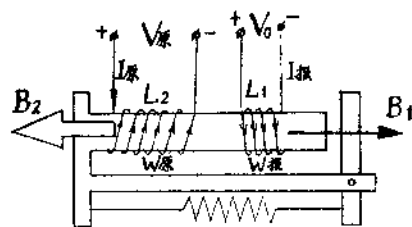


图 3

根据麦克斯威尔公式，继电器吸力为：

$$F = \frac{B^2 S}{2\mu_0} \quad (\text{焦耳/厘米}) \quad (1)$$

其中： $F$ ——继电器吸力（焦耳/厘米）

$B$ ——继电器铁芯内磁场（韦伯/厘米<sup>2</sup>）

$S$ ——继电器铁芯的截面积（厘米<sup>2</sup>）

$\mu_0$ ——导磁系数（ $=1.25 \times 10^{-8}$  亨/厘米）

一定结构的继电器，吸合力  $F_{ox}$  是一定的，即所需磁场  $B_{ox}$  是一定的。

依公式（1），图3所示继电器吸力为：

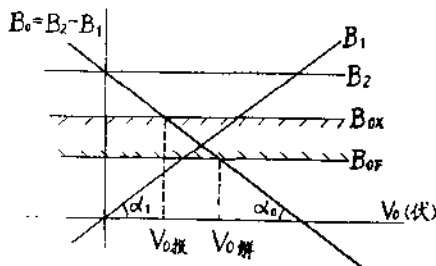


图 4

$V_{0报}$  报警点  $V_{0解}$  解警点

$$F = (B_2 - B_1)^2 S / 2\mu_0 \quad (2)$$

在公式(2)中:  $F \propto (B_2 - B_1)^2$   
吸合时:

$$B_2 - B_1 = B_{0x} \quad (2)'$$

因此, 不论  $V_{报}(B_1)$  多么小, 只要  $V_{原}(B_2)$  足够大, (2)式总可满足, 即继电器总可以吸合。因此图3所示的继电器可对小信号报警。

公式(2)'是继电器吸合时  $B_1$ 、 $B_2$ 、 $B_{0x}$  间相互关系

的表达式。可见:

$$B_1 = B_2 - B_{0x}$$

改变  $V_{原}$  即改变  $B_2$ , 也即改变了报警电压。因此报警点是可调的。

图4示出  $B_1$ 、 $B_2$ 、 $B_0$  间的相互关系 (其中  $B_{0x}$ 、 $B_{0r}$  分别为吸合和释放时铁芯内的等效磁场)。当  $V_0 \leq V_{0报}$  时,  $B_0 \geq B_{0x}$ , 继电器吸合。 $V_0$  上升后, 直至  $V_0 > V_{0解}$  时, 则  $B_0 < B_{0r}$ , 继电器释放。

由上可见, 图2所示的  $S$ ·继电器基本上满足低电压 (小信号) 可调式自动报警的要求。

### 三、回 环

$\Delta V_0 = V_{0解} - V_{0报}$  称为  $S$ ·继电器的回环, 由图4看到, 当被监视电压  $V_0$  从  $< V_{0报}$  增至  $V_{0报}$  时,  $S$ ·继电器并不释放, 这是我们不希望的。一般  $\Delta V_0 = (80\% - 100\%)V_0$ , 这将使  $S$ ·继电器不能及时解警, 因此希望  $\Delta V_0$  尽量小。

由图4可见, 欲减小  $\Delta V_0$ , 则

1. 提高  $\text{tg } \alpha_0$  值

$$\therefore \text{tg } \alpha_0 = \text{tg } \alpha_1 = \frac{dB_1}{dV_0} \quad (3)$$

$\therefore$  提高  $\frac{dB_1}{dV_0}$ , 可减少  $\Delta V_0$ 。

$$\text{又} \quad B_1 \propto W_{报} \frac{V_0}{R_{报}} \quad (4)$$

$$\therefore \frac{dB_1}{dV_0} \propto \frac{W_{报}}{R_{报}} \quad (5)$$

由(5)式可知, 欲提高  $\frac{dB_1}{dV_0}$ , 必须: (1)  $W_{报} \uparrow$ , (2)  $R_{报} \downarrow$ , 即加粗导线线经和增多

匝数。但这将使  $S$ ·继电器体积增大, 漏磁增加, 对提高  $\frac{dB_1}{dV_0}$  并无好处。

2. 在图3基础上, 增加一绕组  $L_3$  (以下简称环绕组), 接成图五形式, 使之产生的磁场  $B_3$  与  $B_1$  方向相同, 并与  $S$ ·继电器触点  $K$  串联。图六是引入  $L_3$  后,  $B_0$ 、 $B_1$ 、 $B_2$ 、 $B_3$  与

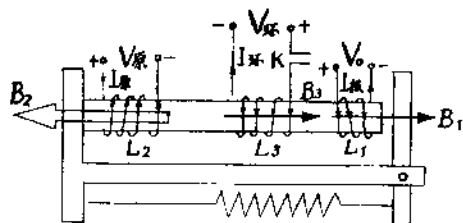


图 5

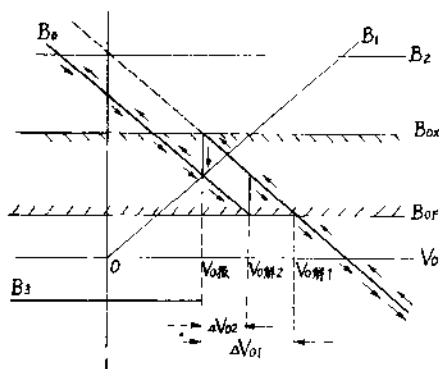


图 6

$V_0$  的关系曲线。

(i)  $S$ ·继电器吸合前,  $B_3=0$ , 所以  $L_3$  的引入并不影响报警点。

(ii)  $S$ ·继电器吸合后,  $B_3$  出现,  $B_0=B_2-B_1-B_3$ ,

且  $B_{0F} < B_0 < B_{0X}$ , 此时回环  $\Delta V_0 = \Delta V_{02} < \Delta V_{01}$ , 显然, 回环比原来减少了。改变  $V$  环即可改变  $\Delta V_0$ 。

表 1 说明了在  $V_0$  变化过程中,  $B_0$  的变化以及  $S$ ·继电器的工作状态。

表 1 不同  $V_0$  下  $B_0$  的变化及  $S$ ·继电器工作状态 (参看图 6)

$V_0$	$V_0$ 从 大 变 小			
	$>V_{0报}$	$=V_{0报}$	$<V_{0报}$	$\leq 0$
$B_0$	$<B_{0X}$	$B_{0F} < B_0 < B_{0X}$	$B_0 \uparrow$ 可 $>B_{0X}$	$>B_{0X}$
$S$ ·继电器状态	释 放	吸 合	吸 合	吸 合
$V_0$	$V_0$ 从 小 变 大			
	$V_{0报} > V_{0解} > 0$	$V_{0解2} > V_0 > V_{0报}$	$=V_{0解2}$	$<V_{0解2}$
$B_0$	$>V_{0F}$	$B_{0F} < B_0 < B_{0X}$	$=B_{0F}$	$<B_{0F}$
$S$ ·继电器状态	吸 合	吸 合	释 放	释 放

#### 四、继电器的结构与参数

$S$ ·继电器的结构见图 7。将 JAG-2 型干簧继电器的一根干簧管装入  $l=36\text{mm}$ 、 $6 \times 0.5$  的铝管内, 管外分别绕上  $L_1$ 、 $L_2$ 、 $L_3$ , 然后用环氧树脂封装在铁壳内。

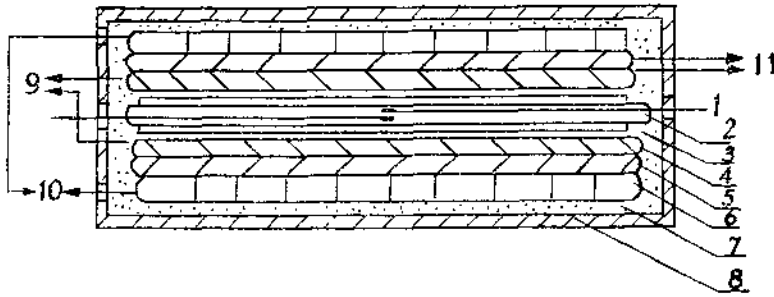


图 7

1—簧管触点 2—簧管玻璃外壳 3— $3 \times 0.5$  铅管 4—报警绕组  $L_1$  5—环绕绕组  $L_2$  6—原绕组  $L_2$  7—环氧树脂填料 8—继电器铁壳 9— $L_1$  引出线 10— $L_2$  引出线 11— $L_3$  引出线

## 五、报警电压和灵敏度

$S$ ·继电器吸合时

$$B_0 = B_2 - B_1 = B_{0x} \quad (6)$$

即

$$I_{原} W_{原} - I_{报} W_{报} = (IW)_{0x} \quad (7)$$

其中： $I_{原} W_{原}$ —— $L_2$ 的安匝数

$I_{报} W_{报}$ —— $L_1$ 的安匝数

$(IW)_{0x}$ —— $S$ ·继电器吸合时所需的安匝数。

如果  $I_{报} = 0$ ，吸合时则：

$$I_{原} W_{原} = (IW)_{0x}$$

其中  $I_{原} = V'_{原} / R_{原}$

$$\therefore (IW)_{0x} = \frac{V'_{原}}{I_{原}} W_{原} \quad (8)$$

其中： $V'_{原}$ —— $I_{报} = 0$ 时，继电器吸合所需要的电压。

$R_{原}$ ——原绕组  $L_2$ 的直流电阻。

由(7)、(8)得：

$$I_{原} W_{原} = I_{报} W_{报} + \frac{V'_{原}}{R_{原}} W_{原} \quad (9)$$

又：

$$I_{原} = V_{原} / R_{原} \quad (10)$$

$$I_{报} = V_0 / R_{报} \quad (11)$$

由(9)、(10)、(11)得：

$$V_0 = (V_{原} - V'_{原}) \frac{W_{原} R_{报}}{W_{报} R_{原}} \quad (12)$$

公式(12)就是报警电压的计算公式。对一定结构的继电器  $W_{原}$ 、 $W_{报}$ 、 $R_{原}$ 、 $R_{报}$ 、 $V'_{原}$  均为常数，所以  $V_0$  是  $V_{原}$  的一次函数 (图 8)。

根据公式(12):

$$\frac{V_{原} - V'_{原}}{V_0} = \frac{W_{报} \cdot R_{原}}{W_{原} \cdot R_{报}} \quad (13)$$

式(13)的意义是单位报警电压所对应的  $(V_{原} - V'_{原})$ , 此值称为  $S$ ·继电器的灵敏度(以下用  $\theta$  表示)。显然

$$\theta = \frac{d(V_{原} - V'_{原})}{dV_0} \quad (14)$$

根据公式(13)可知, 欲提高  $\theta$  值, 必须:

- (1)  $R_{原} \uparrow, R_{报} \downarrow$ , 为此:
- (a) 用粗线绕制  $L_1$ , 用细线绕制  $L_2$ 。
- (b)  $L_1$  绕在内层,  $L_2$  绕在外层。

(2) 适当提高  $W_{报}$ , 适当降低  $W_{原}$ 。但二者均不宜过多, 否则体积增大, 漏磁增加, 灵敏度下降。

【例】: 有一只  $S$ ·继电器,  $V'_{原} = 5.2$  伏,  $W_{报} = 3700$  匝

$W_{原} = 3000$  匝,  $R_{报} = 112 \Omega, R_{原} = 328 \Omega$ , 依公式(14):

$$\theta = \frac{3700 \cdot 328}{3000 \cdot 112} = 3.6$$

这就是说, 如果要在 0.5 伏报警, 则  $V_{原} - V'_{原} = 3.6 \times 0.5 = 1.8$  (伏)。因此,  $V_{原} = V'_{原} + V_0 \theta = 5.2 + 1.8 = 7.0$  (伏)

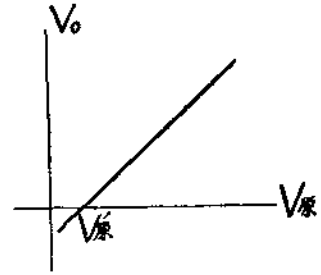


图 8

## 六、 $S$ ·继电器的性能

我们先后共试制了 200 多只  $S$ ·继电器, 抽出一部分测试, 结果如下:

- (1) 报警点  $V_0$ 。在 0—2 伏内可以任意调节。
- (2) 短时时漂 (10 分钟)  $\leq 10$  mV, 长时时漂 (2 天)  $\leq 40$  mV。
- (3)  $\Delta V_0$ 。约 0.05—0.1 伏。

表 2 给出了在不同原电压  $V_{原}$  下  $V_0$  的实验值, 曲线画在图 9 上。其中 1 为理论曲线【由公式(12)得】, 2 为实验曲线。可见, 它们较好的重合, 且  $V_0$  与  $V_{原}$  成良好的线性关系。

表 2

$V_{原}$ (伏)	5.2	6	7	8	9
$V_0$ (伏)	0	0.22	0.48	0.77	1.04

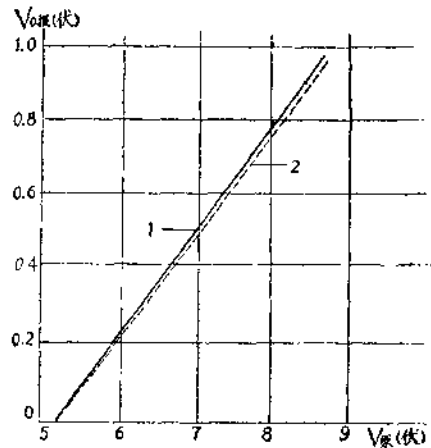


图 9

## 七、影响报警电压的因素

- (1) 原电压的影响

由公式(12)得:

$$\frac{dV_0}{dV_{原}} = \frac{W_{原}}{W_{报}} \cdot \frac{R_{报}}{R_{原}} = \frac{1}{\theta} \quad (15)$$

这就是原电压 $V_{原}$ 对报警电压 $V_0$ 影响的计算公式。

如前例:

$$\frac{dV_0}{dV_{原}} = \frac{3000 \times 112}{3700 \times 328} = 0.277$$

这就是说,原电压漂移1伏,将使报警点漂移0.277伏,如果要求时漂 $\Delta V_0 \leq 10\text{mV}$ ,则 $\Delta V_{原} \leq 36\text{mV}$

## (2) 温度的影响

$S \cdot$ 继电器长期工作后,绕组发热,电阻增加,因此报警电压 $V_0$ 也要发生变化。

在公式(12)中,当温升为 $t^\circ\text{C}$ 时

$$V'_{原} \rightarrow V'_{原}(1 + \beta t)$$

$$R_{报} \rightarrow R_{报}(1 + \beta t)$$

$$R_{原} \rightarrow R_{原}(1 + \beta t)$$

这里 $\beta$ 为铜导线的温度系数,并假设各绕组的温升相同。

此时公式(12)变成:

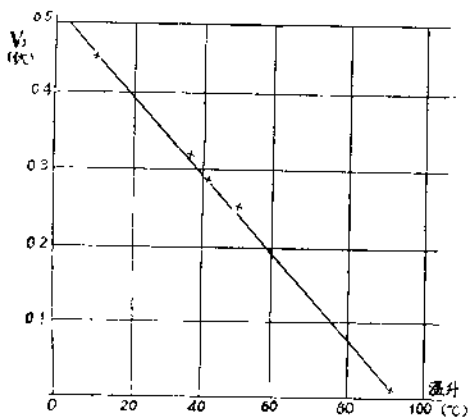


图10 报警电压 $V_0$ 的温度曲线 ( $V'_{原}=7\text{V}$ )

$$V_0 = \frac{(V_{原} - V'_{原}(1 + \beta t)) \cdot R_{报}(1 + \beta t) W_{原}}{R_{原}(1 + \beta t) \cdot W_{报}}$$

$$= \frac{(V_{原} - (1 + \beta t)V'_{原}) W_{原} \cdot R_{报}}{R_{原} \cdot W_{报}}$$

∴ 报警电压温度系数:

$$\frac{dV_0}{dt} = - \frac{W_{原} \cdot R_{报} \cdot \beta}{R_{原} \cdot W_{报}} V'_{原} \quad (16)$$

可见:

报警电压随温度上升而直线下降

由(16)得:

$$\frac{dV_0}{dt} = - \frac{\beta V'_{原}}{R_{原} \cdot \frac{W_{报}}{W_{原}}} = - \frac{\beta V'_{原}}{\theta} \quad (17)$$

所以报警电压的温度系数与其灵敏度 $\theta$ 成反比。

表3列出前例中 $S \cdot$ 继电器不同温度下的报警电压实验值。图10给出了报警电压的温度曲线。

表 3

温升 ( $^\circ\text{C}$ )	10	38	42	50	90
报警电压(伏)	0.46	0.31	0.28	0.26	0

温升前报警电压为0.52伏。

但是根据我们使用经验,由于 $S \cdot$ 继电器有良好的传热铁外壳,在运行中,其绕组发热

并不厉害，对报警电压  $V_0$  影响不显著，所以一般勿需考虑。但在要求报警电压精度较高时，要采取必要的温度补偿措施。

## 八、报警继电器的应用

### (1) 单参量报警

任何参量只要能转换成  $>100\text{mV}$  电信号， $S$ ·继电器就能自动报警（见图11）。

对DDZ-Ⅱ型仪表输出为  $0-10\text{mA}$ ，而  $S$ ·继电器的输入电阻（即  $L_1$  的直流电阻）为  $110\Omega$ ，则  $V_0$  为  $0-1.1$  伏，因此可以报警。对DDZ-Ⅲ型仪表，输出为  $4-20\text{mA}$ ，则  $V_0$  为  $0.44-2.2$  伏， $S$ ·继电器同样完全可对之报警。

图11， $V_{原}$   $V_{环}$  是外加直流供电电压。改变  $V_{原}$  可改变报警点。改变  $V_{环}$  可改变回环  $\Delta V_0$ 。 $D_1$ 、 $D_2$  为隔离二极管，避免  $V_{环}$  与灯泡电压（6.3 伏）相互串电。 $\pi$  为报警指示灯。

当对象的参量  $x=x_0$  时， $V_0=V_{0报}$ ， $S$ ·继电器吸合，触点  $K$  被接通，指示灯  $\pi$  亮，表示报警。

如果被监视信号很大，则原绕组和报警绕组可以对调使用。

### (2) 串联式多参量的报警

对图12所示对象的报警， $S$ ·继电器显示出特有优越性。其中  $V_{01}$ 、 $V_{02}$ 、 $\dots$ 、 $V_{0n}$  是被监视信号。原电压  $V_{原}$  为  $5-10$  伏（直流）可调稳压电源， $V_{环}$  为  $5$  伏直流（稳压）电压。报警指示灯为  $6.3$  伏直流电压（不稳压）。

根据这个线路，我们先后作成 150 对和 35 对等两台自动报警仪，经过两年来的工作，运转情况良好，基本符合要求。

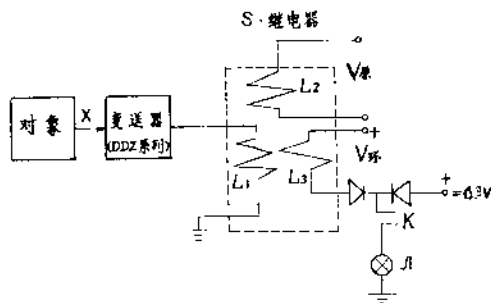


图11

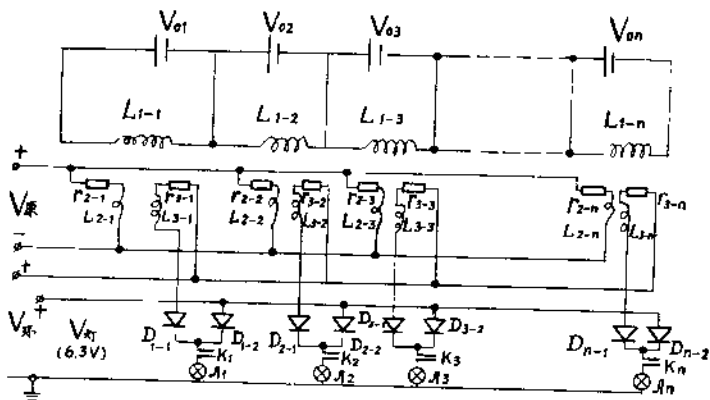


图12

$D_{1-1}D_{1-2}D_{1-3}D_{2-1}D_{2-2}D_{2-3}D_{3-1}D_{3-2}D_{3-3}D_{n-1}D_{n-2}D_{n-3}$  均为隔离二极管； $\pi_1, \pi_2, \pi_3, \dots, \pi_n$  为相应的指示灯； $K_1, K_2, \dots, K_n$  为相应的  $S$ ·继电器触点； $L_{1-1} L_{1-2} L_{1-3} \dots L_{1-n}$  为相应的报警绕组； $L_{2-1} L_{2-2} L_{2-3} \dots L_{2-n}$  为相应的原绕组； $L_{3-1} L_{3-2} L_{3-3} \dots L_{3-n}$  为相应的环绕组； $r_{2-1} r_{2-2} r_{2-3} \dots r_{2-n}$  为各原绕组的调整电阻； $r_{3-1} r_{3-2} r_{3-3} \dots r_{3-n}$  为各环绕组的调整电阻

## 九、结 束 语

$S$ ·继电器作为一种新的器件显示出不少优越性。它线路简单，使用方便，甚至完全不了解电子线路的人也很容易掌握使用。它与 DDZ-Ⅱ、DDZ-Ⅲ 型仪表配合，可广泛地用于工厂的车间、实验室以及学校、医院、商店等许多部门，对于安全保护有一定的监视作用。特别是对于串联浮地式的电量（非电量）的报警，表现出其他报警器件所不具有的优越性。

## 参 考 文 献

- (1) 北京大学物理系, “铁磁学”, 科学出版社, 1976.
- (2) 蔡国廉等, “电磁铁”, 上海科学技术出版社, 1970.
- (3) Parker, R. J. and Studdens R. J., “Permanent and Their Application” London Arnold 1962.
- (4) Smit, J., “Magnetic Properties of Materials” New York, Mc Graw—Hill, 1971.